## 実験的に決定した水素置換型鉄系超伝導体 SmFeAs0 の 上部臨界磁場と磁気異方性

Experimentally determined upper critical fields and magnetic anisotropies of H-substituted iron-based superconductor SmFeAsO

東工大フロンティア研<sup>1</sup>,物質・材料研究機構<sup>2</sup>,東工大 MDX 元素戦略センター<sup>3</sup>,東大物性研<sup>4</sup>

<sup>○</sup>半沢 幸太<sup>1</sup>,松本 惇平<sup>1</sup>,飯村 壮史<sup>2,3</sup>,小濱 芳允<sup>4</sup>,平松 秀典<sup>1,3</sup>,細野 秀雄<sup>2,3</sup>

MSL, Tokyo Tech<sup>1</sup>, NIMS<sup>2</sup>, MDX RCES, Tokyo Tech<sup>3</sup>, ISSP, Tokyo Univ<sup>4</sup>, <sup>°</sup>Kota Hanzawa<sup>1</sup>, Jumpei Matsumoto<sup>1</sup>, Soshi Iimura<sup>2,3</sup>, Yoshimitsu Kohama<sup>4</sup>, Hidenori Hiramatsu<sup>1,3</sup>, Hideo Hosono<sup>2,3</sup>

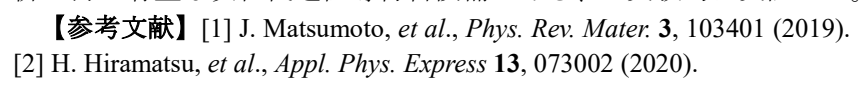
E-mail: k-hanzawa@mces.titech.ac.jp

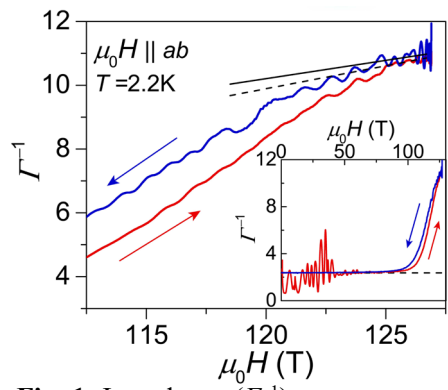
【緒言】次世代の高磁場用電磁石や送電ケーブル等への超伝導応用を実現するための材料には、高い臨界温度  $(T_c)$  と臨界電流  $(J_c)$  のみならず、高い上部臨界磁場  $(\mu_0H_{c2})$  とその小さい磁気 異方性  $(\gamma = \mu_0H_{c2}||ab/\mu_0H_{c2}||c)$  も求められる。これらを満たす材料候補として、鉄系超伝導体が着目されている。中でも、122 型 BaFe<sub>2</sub>As<sub>2</sub> は高  $J_c$ 、低  $\gamma$  ( $\sim$ 2) と、比較的高い  $T_c$  (38 K)、 $\mu_0H_{c2}$  (60-70

T)を有するため、有望な候補である。一方、鉄系超伝導体で最も高い  $T_c$  (55 K)を有する 1111型 SmFeAsO は、OをFやHで部分置換することで超伝導を発現するが、大型単結晶やエピタキシャル薄膜の作製が困難であるため、応用を目指した研究は 122型ほど進んでいない。近年、我々は SmFeAsOエピタキシャル薄膜への CaH2を用いた高濃度 H 置換に成功し、高  $T_c$  [1]と高  $J_c$  [2]を見いだしたが、 $\mu_0H_{c2}$ が非常に高いため、その絶対値や $\gamma$ を実験的に決定できていなかった。本研究では、最大 130 T のパルス強磁場下で SmFeAs(O,H)エピタキシャル薄膜 ( $T_c$ =45 K)の電子輸送特性を調べた。

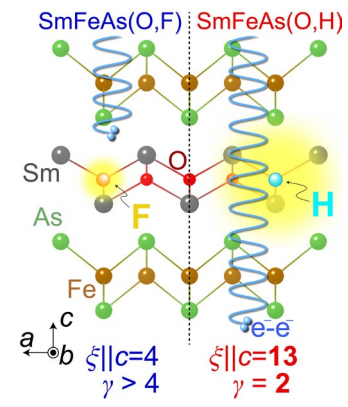
【結果】一巻きコイル法を用いて ab 面に沿って 130 T まで磁場を印加した結果(図 1)、2.2 K において  $\mu_0H_{c2}$  が~120

Tに達することを実測した。これは 1111 型 SmFeAsO では初めての極低温における  $\mu_0H_{c2}(0)$ の実験的な決定である。また、c 軸に沿った場合では、two band モデルを用いた解析から  $\mu_0H_{c2}(0)$ は~80 T と見積もられ、 $\gamma$  値は 2.1 と 122 型 BaFe<sub>2</sub>As<sub>2</sub> や MgB<sub>2</sub> に匹敵する低い値であることを明らかにした。見積もったコヒレンス長( $\xi$ )が、ab 面内では F 置換型と差がなかったのに対し、c 軸方向では H 置換型の方が約 3 倍長くなったことから、層状構造にもかかわらず、H 置換によって実現された 3 次元的な電子構造が低 $\gamma$ の起源と結論づけた(図 2)。以上から SmFeAs(O,H)は、高い  $\mu_0H_{c2}$ 、 $T_c$ 、 $J_c$  と低い $\gamma$  を併せ持つ有望な次世代超伝導材料候補である、と実験的に実証した。





**Fig. 1.** Impedance  $(\Gamma^{-1})$  measurement under high magnetic fields of up to 130 T. The inset shows  $\Gamma^{-1}$  in the full field region. The black dashed and solid lines are the least-squares fits of the normal -state resistance in the up (red) and down (blue) field sweeps.



**Fig. 2.** Schematic image of carrier conduction in F- (left) and H-substituted (right) SmFeAsO along the *c* axis.